

热流问题数值计算

HOMEWORK #1

Contents

1 物理问题描述	3
2 问题的数学描述	3
3 离散方程建立	3
3.1 稀疏矩阵系数	4
3.2 源项处理与附加源项法	4
3.2.1 第一类边界条件	4
3.2.2 第二类边界条件	4
3.2.3 第三类边界条件	5
4 代数求解方法	5
4.1 TDMA	5
4.2 Jacobi 迭代	6
4.3 Guass-Seidel 迭代	6
4.4 多重网格技术	7
4.4.1 1. 基本理论	7
4.4.2 2. 算例	8
4.4.3 3. 有效性分析	10
5 程序框架	11
5.1 Parameters 类	11
5.2 Solver	11
5.3 主程序	11
5.4 控制文件 controlDict	12
6 问题分析	13
7 参考文献	14

物理问题描述

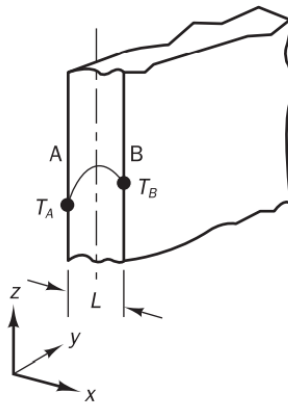


图 1: 问题描述

有一房屋的砖墙厚度为 $L = 0.3 \text{ m}$, $k = 0.85 \text{ W/m} \cdot ^\circ\text{C}$, $\rho c = 1.05 \times 10^6 \text{ J/m}^3 \cdot ^\circ\text{C}$, 室内温度 $T_A = 20^\circ\text{C}$ 保持不变, 对流换热系数 $a_1 = 6 \text{ W/m}^3 \cdot ^\circ\text{C}$, 起初墙外的温度稳定, 墙内的温度分布为稳态, 现在室外温度下降为 $T_B = -10^\circ\text{C}$, 外墙表面换热系数 $a_2 = 35 \text{ W/m}^3 \cdot ^\circ\text{C}$ 。则经过多长时间后内墙感受到外界温度变化。

问题的数学描述

本问题的控制方程以及边界条件、初始条件可以抽象为下述问题:

$$\frac{\partial T}{\partial t} = a \frac{\partial^2 T}{\partial x^2} \quad (1)$$

$$x = 0, a_1(T_A - T) = -k \frac{\partial T}{\partial x} \quad (2)$$

$$x = L, a_2(T - T_B) = -k \frac{\partial T}{\partial x} \quad (3)$$

$$t = 0, T = 15 - q \frac{x}{k} \quad (4)$$

其中 $q = a_1(T_A - T_1) = 30 \text{ W/m}^3$ 。

离散方程建立

程序采用均分网格计算, 并且物理量储存于网格中心。

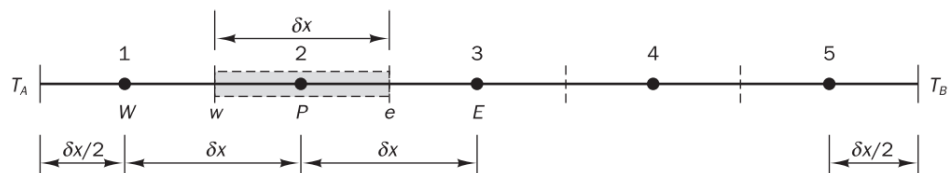


图 2: 均分网格示意图

对于无内热源的一维非稳态导热问题，控制容积内的积分方程如下：

$$\int_{\Delta V} \int_t^{t+\Delta t} \rho c \frac{\partial T}{\partial t} dt dV = \int_{\Delta V} \int_t^{t+\Delta t} \frac{1}{A(x)} \frac{\partial}{\partial x} [k A(x) \frac{\partial T}{\partial x}] dt dV \quad (5)$$

采用全隐格式，即取

$$\int_t^{t+\Delta t} T dt = T \Delta t \quad (6)$$

则得到

$$\rho c \frac{T_P - T_P^0}{\Delta t} = k \frac{T_E - 2T_P + T_W}{\Delta x^2} \quad (7)$$

稀疏矩阵系数

对方程 (7) 进行整理，得到如下形式

$$a_P T_P = a_W T_W + a_E T_E + S_u \quad (8)$$

$$a_P = a_W + a_E - S_p \quad (9)$$

由此可以获得如下的稀疏矩阵各项系数。

$$\begin{pmatrix} a_P^* & a_E^* & 0 & \dots \\ a_W & a_P & a_E & \dots \\ 0 & a_W & a_P & \dots \\ \dots & \dots & \dots & \dots \end{pmatrix} \begin{pmatrix} T_1 \\ T_2 \\ T_3 \\ \dots \end{pmatrix} = \begin{pmatrix} S_u^* \\ S_u \\ S_u \\ \dots \end{pmatrix} \quad (10)$$

a_W	a_E	S_p	S_u	a_P
$\frac{k}{\Delta x}$	$\frac{k}{\Delta x}$	$-\rho c \frac{\Delta x}{\Delta t}$	$\rho c \frac{\Delta x}{\Delta t} T_P^0$	$a_w + a_E - S_p$

源项处理与附加源项法

由于边界条件的存在，需要对边界处的离散方程做特殊处理，以下以左边界为例考虑三种边界条件，右边界推导类似。

第一类边界条件

对边界节点的控制体积积分给出如下的守恒形式：

$$k \frac{T_E - T_P}{\Delta x} - k \frac{T_P - T_A}{\Delta x / 2} = \rho c \frac{T_P - T_P^0}{\Delta t} \Delta x \quad (11)$$

因此整理可得

a_W	a_E	S_p	S_u	a_P
0	$\frac{k}{\Delta x}$	$-\frac{2k}{\Delta x} - \rho c \frac{\Delta x}{\Delta t}$	$\frac{2k}{\Delta x} T_A + \rho c \frac{\Delta x}{\Delta t} T_P^0$	$a_w + a_E - S_p$

第二类边界条件

第二类边界条件需要指定边界上的热流密度，假设此值在左边界为 q_A ，并且方向以进入控制体的方向为正，则可得到如下的守恒方程：

$$k \frac{T_E - T_P}{\Delta x} + q_A = \rho c \frac{T_P - T_P^0}{\Delta t} \Delta x \quad (12)$$

则整理得

a_W	a_E	S_p	S_u	a_P
0	$\frac{k}{\Delta x}$	$-\rho c \frac{\Delta x}{\Delta t}$	$q_A + \rho c \frac{\Delta x}{\Delta t} T_P^0$	$a_w + a_E - S_p$

第二类边界条件中的壁面温度 T_{wall} 可以从热流密度推算出来:

$$T_{wall} = T_1 + \frac{q_A \Delta x}{2k} \quad (13)$$

第三类边界条件

第三类边界条件相比第二类边界条件只要在守恒方程中使用 $h(T_f - T_{wall})$ 代替 q_A , 其方向同样是以进入控制体为正向。使用附加源项法, 从方程中去除 T_{wall} , 即使用

$$q_A = \frac{T_A - T_{wall}}{\frac{1}{a_1}} = \frac{T_{wall} - T_1}{\frac{\Delta x}{2k}} = \frac{T_A - T_1}{\frac{1}{a_1} + \frac{\Delta x}{2k}} \quad (14)$$

为表述简单, 计 $\eta = \frac{1}{\frac{1}{a_1} + \frac{\Delta x}{2k}}$, 经过整理即得到:

a_W	a_E	S_p	S_u	a_P
0	$\frac{k}{\Delta x}$	$-\eta - \rho c \frac{\Delta x}{\Delta t}$	$\eta T_A + \rho c \frac{\Delta x}{\Delta t} T_P^0$	$a_w + a_E - S_p$

同样, 壁面温度可以从热流密度推算:

$$T_{wall} = \frac{a_1 T_A + \frac{2k}{\Delta x} T_1}{a_1 + \frac{2k}{\Delta x}} \quad (15)$$

代数求解方法

TDMA

```

1 Vec TDMA(Vec aW, Vec aP, Vec aE, Vec Su)
{
3     int size = Su.size();
    // 初始化向量
5     Vec P(size, 0), Q(size, 0), phi(size, 0);
    // 消元
7     P[0] = aE[0] / aP[0];
    Q[0] = Su[0] / aP[0];
9     for (int i = 1; i < size; i++)
    {
11         P[i] = aE[i] / (aP[i] - aW[i]*P[i-1]);
        Q[i] = (Su[i]+aW[i]*Q[i-1]) / (aP[i] - aW[i]*P[i-1]);
    }
13     phi[size-1] = Q[size-1];
    // 回代
15     for (int i = size-1; i>0 ; i--)
        phi[i-1] = P[i-1]*phi[i]+Q[i-1];
17     return phi;
19 }
```

TDMA 算法包括消元和回代两个过程，是针对三对角矩阵最有效的直接解法，相比高斯消元法 $O(n^3)$ 的时间复杂度，它的复杂度为 $O(n)$ ，充分利用了矩阵稀疏性。

Jacobi 迭代

Jacobi 迭代的递推式为

$$x_i^k = \frac{1}{a_{ii}}(b_i - \sum_{j=1, j \neq i}^n a_{ij}x_j^{k-1}) \quad (16)$$

```

1 Vec jacobi(Vec aW, Vec aP, Vec aE, Vec Su, double p)
{
3     int n = aW.size();
5     Vec phi(n,1), phi0(n,0), errList(n,1);
// whith origin value as 0
7     while (maxabs(errList) > p)
{
9         // 迭代
11        phi[0] = (aE[0]*phi0[1]+Su[0])/aP[0];
13        for (int i =1; i<n-1; i++)
15        {
17            phi[i] = (aW[i]*phi0[i-1]+aE[i]*phi0[i+1]+Su[i])/aP[i];
19        }
21        phi[n-1] = (aW[n-1]*phi0[n-2]+Su[n-1])/aP[n-1];
// 计算是否收敛
23        for (int i=0; i<n; i++)
{
    errList[i] = phi0[i] - phi[i];
    phi0[i] = phi[i];
}
return phi;
}
}

```

显然迭代法耗时取决于迭代精度的选取与迭代初值，在本算例中，大致取 $\epsilon = 1e - 6$ 可保证小数点后四位的精度。

Guass-Seidel 迭代

Guass-Seidel 迭代相比 Jacobi 迭代利用了本步的计算结果，其递推式为

$$x_i^k = \frac{1}{a_{ii}}(b_i - \sum_{j=1}^{i-1} a_{ij}x_j^k - \sum_{j=i+1}^n x_j^{k-1}) \quad (17)$$

对于三对角阵，只需要对 Jacobi 迭代做微小修改：

```

1 phi[i] = (aW[i]*phi[i-1]+aE[i]*phi0[i+1]+Su[i])/aP[i];

```

虽然 Guass-Seidel 迭代的收敛速度较快，但是由于算法利用了当前步计算的值，因此程序不容易并行化。

多重网格技术

1. 基本理论

考虑这样的线性方程组

$$\mathbf{A}\vec{x} = \vec{b}$$

当使用标准迭代求解器（Gauss-Seidel, Jacobi, SOR）时，观察到收敛速度趋于“停顿”，即在几次迭代后无法有效减少误差，细化网格后，问题更加突出。实际上，研究表明，收敛速度是误差场频率的函数，即误差从节点到节点的梯度。如果误差以高频模式分布，则收敛速度很快。然而，在最初的几次迭代之后，误差场被平滑（变为低频），使得收敛速度变差。

一个显而易见的想法是：既然平滑后的误差在细网格上变为了低频，那么这个误差可以在粗网格上得到有效消除，因为细网格上的低频可能是粗网格上的高频！

迭代得到的中间值设为 \vec{y} ，则

$$\mathbf{A}\vec{y} = \vec{b} - \vec{r}$$

\vec{r} 为残差向量，如果用 $\vec{e} = \vec{x} - \vec{y}$ 表示中间值和解之间的距离，则

$$\mathbf{A}\vec{e} = \vec{r}$$

因此这个方程与原来要解的方程具有同样的系数矩阵，如果可以解出 \vec{e} ，那么便可修正中间值。为了有效地达成这一目的，把上面的方程放到粗网格中计算，以快速光滑残差。在这之后，将 \vec{e} 再投影回细网格来修正解，如此反复迭代。

多重网格方法常用的几个名词：

Agglomeration：所有的多重网格方法都需要在原始“精细”网格的基础上定义一系列粗网格。定义粗网格的过程涉及到所谓的聚集，即从原始网格中组合几个节点或控制量或系数，得到粗网格上的稀疏矩阵。

Restriction：利用插值方法将误差向量投影到粗网格上

Prolongation：Restriction 的反过程

多重网格法的两种形式：

Geometric multigrid：在几何多重网格中，生成了网格的层次结构。方程在每个级别上进行离散。几何多重网格优于代数多重网格的优点是，对于非线性问题，前者应具有更好的性能，因为系统中的非线性通过重新离散化可以降低到粗糙的水平。

Algebraic multigrid：该算法被称为代数多重网格方案，因为生成的粗糙层方程没有使用任何几何或在粗糙层上的重新离散。这样做的优点是不需要生成或存储粗级别的网格，也不需要在粗级别上计算通量或源项。这一特性使得 AMG 对于非结构化网格的使用尤为重要。

多重网格法的关键算子：

1) **Prolongation 算子 P**，将粗网格上的结果插值到细网格上

2) **Restriction 算子 R**, $R = \frac{1}{2}P^T$

3) 代数多重网格的粗网格矩阵 $A_{2h} = RA_hP$

2. 算例

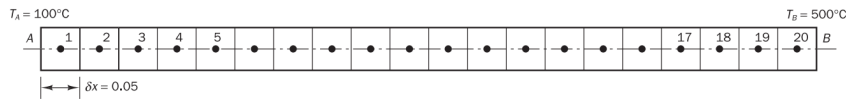


图 3: 问题图示

一个带内热源的导热问题

$$k \frac{d^2T}{dx^2} + g = 0$$

长度 1m, 截面积 0.01m^2 , $k = 5\text{W/m.K}$, $q = 20\text{kW/m}^3$

离散过程很简单, 最后得到一个三对角矩阵, 可以使用 TDMA 直接求解, 在这里将使用多重网格进行求解。

- 1) V 型循环, 三层网格, 网格数依次为 20、10、5
- 2) 最后一层使用 TDMA 直接求解
- 3) P 和 R 都使用线性插值代替
- 4) 粗网格矩阵可以重新离散得到或者使用插值

```

1 def restrict(vec):
2     n = int(np.size(vec)/2)
3     vec_coarse = np.zeros(n)
4     for i in range(n):
5         vec_coarse[i] = (vec[2*i]+vec[2*i+1])/2
6
7     return vec_coarse
8
9
10 def prolong(vec):
11     n = np.size(vec)
12     vec_fine = np.ones(n*2)*vec[0]/2
13     for i in range(1, n*2):
14         if (i % 2 == 0):
15             vec_fine[i] = (vec[int(i/2) - 1] + vec[int(i/2)])/2
16         else:
17             vec_fine[i] = vec[int(i/2)]
18
19     return vec_fine
20
21
22 # iter stands for iteration times
23 def gsIter(aw, ap, ae, su, phi, itr):
24     n = np.size(aw)
25     phi0 = phi
26     for i in range(itr):
27         phi[0] = (ae[0]*phi0[1]+su[0])/ap[0]
28         for i in range(n-1):
29             phi[i] = (aw[i]*phi[i-1]+ae[i]*phi0[i+1]+su[i])/ap[i]
30
31     phi[n-1] = (aw[n-1]*phi[n-2]+su[n-1])/ap[n-1]
```

```

33     for i in range(n):
34         phi0[i] = phi[i]
35
36
37
38 def residual(su, aw, ap, ae, phi):
39     n = np.size(su)
40     res = np.zeros(n)
41     for i in range(1, n-1):
42         res[i] = su[i] - (-aw[i]*phi[i-1]+ap[i]*phi[i]-ae[i]*phi[i+1])
43     res[0] = su[0] - ap[0]*phi[0] + ae[0]*phi[1]
44     res[n-1] = su[n-1] - ap[n-1]*phi[n-1] + aw[n-1]*phi[n-2]
45
46     return res
47
48
49 def getMatrix(num):
50     aw = np.zeros(num)
51     ap = np.zeros(num)
52     ae = np.zeros(num)
53     su = np.zeros(num)
54     for i in range(1, num-1):
55         aw[i] = k*a*num/l
56         ae[i] = aw[i]
57         su[i] = q*a*l/num
58         ap[i] = aw[i]+ae[i]
59
60     aw[0] = 0
61     ae[num-1] = 0
62     ae[0] = k*a*num/l
63     aw[num-1] = k*a*num/l
64     su[0] = q*a*l/n+2*k*a*num/l*t
65     su[num-1] = q*a*l/n+2*k*a*num/l*t
66     ap[0] = aw[0]+ae[0] + 2*k*a*num/l
67     ap[num-1] = aw[num-1]+ae[num-1] + 2*k*a*num/l
68
69     return aw, ap, ae, su
70
71 def sol(aw, ap, ae, su):
72     n = np.size(aw)
73     p = np.zeros(n)
74     q = np.zeros(n)
75     phi = np.zeros(n)
76     p[0] = ae[0]/ap[0]
77     q[0] = su[0]/ap[0]
78     for i in range(1, n):
79         p[i] = ae[i]/(ap[i] - aw[i]*p[i-1])
80         q[i] = (su[i] + aw[i]*q[i-1])/(ap[i]-aw[i]*p[i-1])
81
82     phi[n-1] = q[n-1]
83     for i in range(n-1, 0, -1):
84         phi[i-1] = p[i-1]*phi[i]+q[i-1]
85
86     return phi
87
88 # prepare matrix
89 aw, ap, ae, su = getMatrix(n)
90 aw2, ap2, ae2, su2 = getMatrix(int(n/2))
91 aw3, ap3, ae3, su3 = getMatrix(int(n/4))

```

```

phi = np.ones(n)*150
93 phi = gslter(aw, ap, ae, su, phi, 3)

95 res = 1
96 cnt = 0
97 res_list = []
98 while(res > 1e-6):
99     # finest mesh
100    phi = gslter(aw, ap, ae, su, phi, 2)
101    r = residual(su, aw, ap, ae, phi)
102    res = np.mean(r)
103    res_list.append(res)
104    cnt += 1
105    # ----- restriction -----
106    r2 = restrict(r)
107    e2 = gslter(aw2, ap2, ae2, r2, np.zeros(int(n/2)), 10)
108    r4 = residual(r2, aw2, ap2, ae2, e2)
109    rr = restrict(r4)
110    #e4 = gslter(aw3,ap3,ae3,rr,np.zeros(int(n/4)),10)
111    e4 = sol(aw3, ap3, ae3, rr)
112    # ----- prolongation -----
113    eff = prolong(e4)
114    e2 = e2+eff
115    e2 = gslter(aw2, ap2, ae2, r2, e2, 2)
116    ef = prolong(e2)
117    phi = phi + ef

118 plt.figure(1)
119 plt.plot(res_list)
120 plt.show()

```

设定迭代判据为平均残差（绝对值）小于 1×10^{-6} 时收敛，经过 27 次 V 循环，迭代收敛。

3. 有效性分析

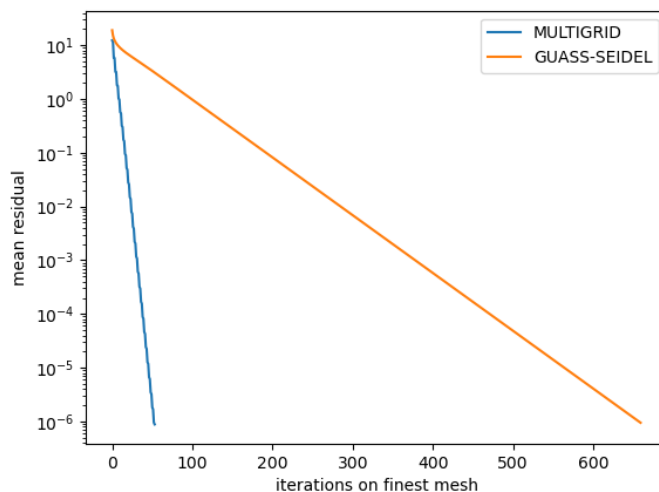


图 4: 迭代残差图

可以看到，单纯的高斯赛德尔迭代需要近 660 步才能迭代到收敛，而采用多重网格后，只需要 27 个 V 循环，每个循环由 2 次细网格上的 GS 迭代和 10 次较粗网格上的 GS 迭代以及最粗网格的 TDMA 组成，大大减少了计算量。

程序框架

此计算程序可以从控制文件读取控制参数，进行稳态或非稳态计算，可以指定三种边界条件，将温度场输出为 tecplot 格式，并可计算热流通量。

Parameters 类

```

1 #ifndef _PARAMETER_
#define _PARAMETER_
3
4 #include <vector>
5 #include <string>
6 using namespace std;
7
8 class Parameters
9 {
10     private:
11     public:
12     int N, uS, B_L, B_R;
13     double dt, L, A1, A2, RHOC, K, TA, TB, P, Q_R, Q_L;
14     string solver;
15     Parameters();
16     ~Parameters();
17     int readParameters(const char *filename);
18     void Coeff(vector<double> &aW, vector<double> &aP, vector<double> &aE);
19     void getSource(vector<double> &Su, vector<double> &T);
20     int outputFile(vector<double> vec_1, vector<double> vec_2);
21 };
22
23 #endif

```

Parameters 类中 `readParameters` 和 `outputFile` 负责从控制文件读取参数、输出计算结果，`Coeff` 计算矩阵系数，`getSource` 计算源项¹。

Solver

`Solver` 从获取的计算参数中选定代数方程组求解器，如果选择了迭代求解器，可以读取迭代精度。

主程序

主程序包括一个计算初始温度分布的 `initialize` 函数

```
1 /*

```

¹完整代码发布至 [github: https://github.com/FR13ndSDP/NHT](https://github.com/FR13ndSDP/NHT)

```

1  * @description: uniform grid only for specific problem
2  * @variables: number of nodals: n
3  * @author: Fr13ndSDP
4  * @date: 2020-10-04 22:11:52
5  */
6  int initialize(int N, double L, double Tw, double TA, double A1, double K, Vec &T, Vec &position)
7  {
8      for (int i = 0; i < N; i++)
9      {
10         position[i] = L / (2 * N) + L / N * i;
11         T[i] = Tw - A1 * (TA - Tw) / K * position[i];
12     }
13     return 0;
14 }
15 }
```

还包括一个选择结构用于决定进行稳态计算还是非稳态计算，针对特定问题的特殊输出也在主程序中编写。

控制文件 controlDict

控制文件中各项参数及默认值如下所示。默认参数已经在 `Parameters` 类的构造函数中包含，如果未指定参数则会使用默认参数进行计算。

```

1 # ----- Geometry properties -----
2 # Geometry Length
3 L 0.3
4 # Number of nodes
5 N 64
6 # Spatial (s)
7 dt 60
8 # ----- Physical properties -----
9 # rho*c
10 RHOC 1.05e6
11 # conductivity
12 K 0.85
13 # ----- Initial condition -----
14 # left temperature
15 TA 20
16 # right temperature
17 TB -10
18 # ----- Boundary condition -----
19 unSteady 1
20 # boudary condition
21 Boundary_L 3
22 Boundary_R 3
23 # heat flux if B.C 2 if choosen
24 Q_L 0
25 Q_R 0
26 # wall h if B.C 3 is choosen
27 A1 6
28 A2 35
29 # ----- Linear solver -----
30 # solver used: TDMA, jacobi or guassSeidel
31 solver TDMA
32 # precision of iterative solver
33 P 1e-8
```

问题分析

首先绘制出随内壁面温度不断下降，直达到到稳态，整体温度场的变化情况。可以看到，当内壁面刚下降 0.1°C 时，外壁面温度已经下降到了 -5°C 以下，因此外壁面的冷却速率远高于内壁面。

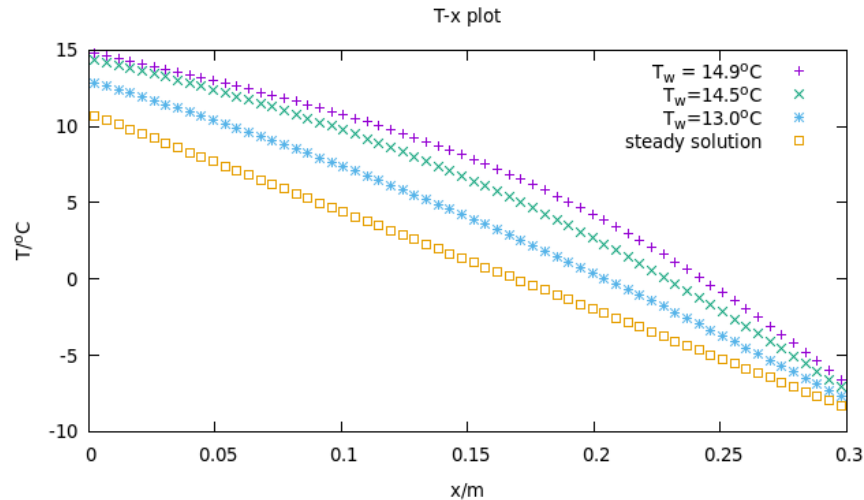


图 5: 温度场分布演化

为了更加直观地了解这一现象，绘制出随时间两侧壁温的变化情况，时间轴采用对数坐标。

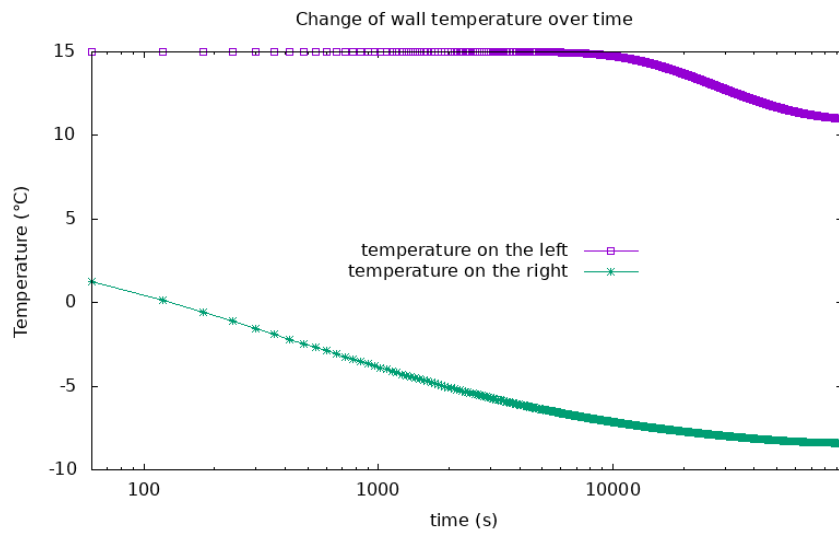


图 6: 两侧壁面温度变化

从图 4 中可以看出：内壁温在经过 10000 秒左右才发生较为强烈的降温，而外壁面的降温是从零时刻开始，这一影响是随时间逐步传递到内壁面的。

进一步地，可以绘制出两侧热流密度随时间的变化情况，分别绘制流入左壁面的热流密度与流出右壁面的热流密度。

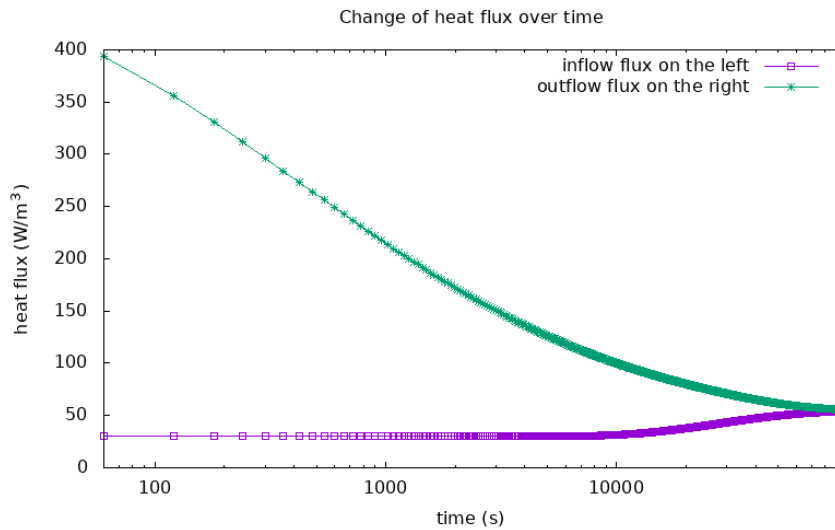


图 7: 壁面热流密度变化

热流密度的变化与温度变化相吻合，可以从中提取这样的一个信息：热流密度通量是温度变化的驱动力，随着右壁面流出热流密度的降低，右壁面的温度变化幅度也随之降低，而直到 10000 秒左右左壁面的热流密度才开始增加，此时影响传递到左壁面，温度开始下降。因此对左壁面来说，温度变化是热流密度的变化的驱动力。最终，左边界流入的热流密度与右边界流出的热流密度相等，温度场达到稳态。

参考文献

- [1] 陶文铨, 数值传热学
- [2] H.K.Versteeg, An introduction to computational fluid dynamics : the finite volume method
- [3] J.H.Ferziger, M.Peric, Computational methods for fluid dynamics